



# 通信原理

---

## 第2章 确知信号

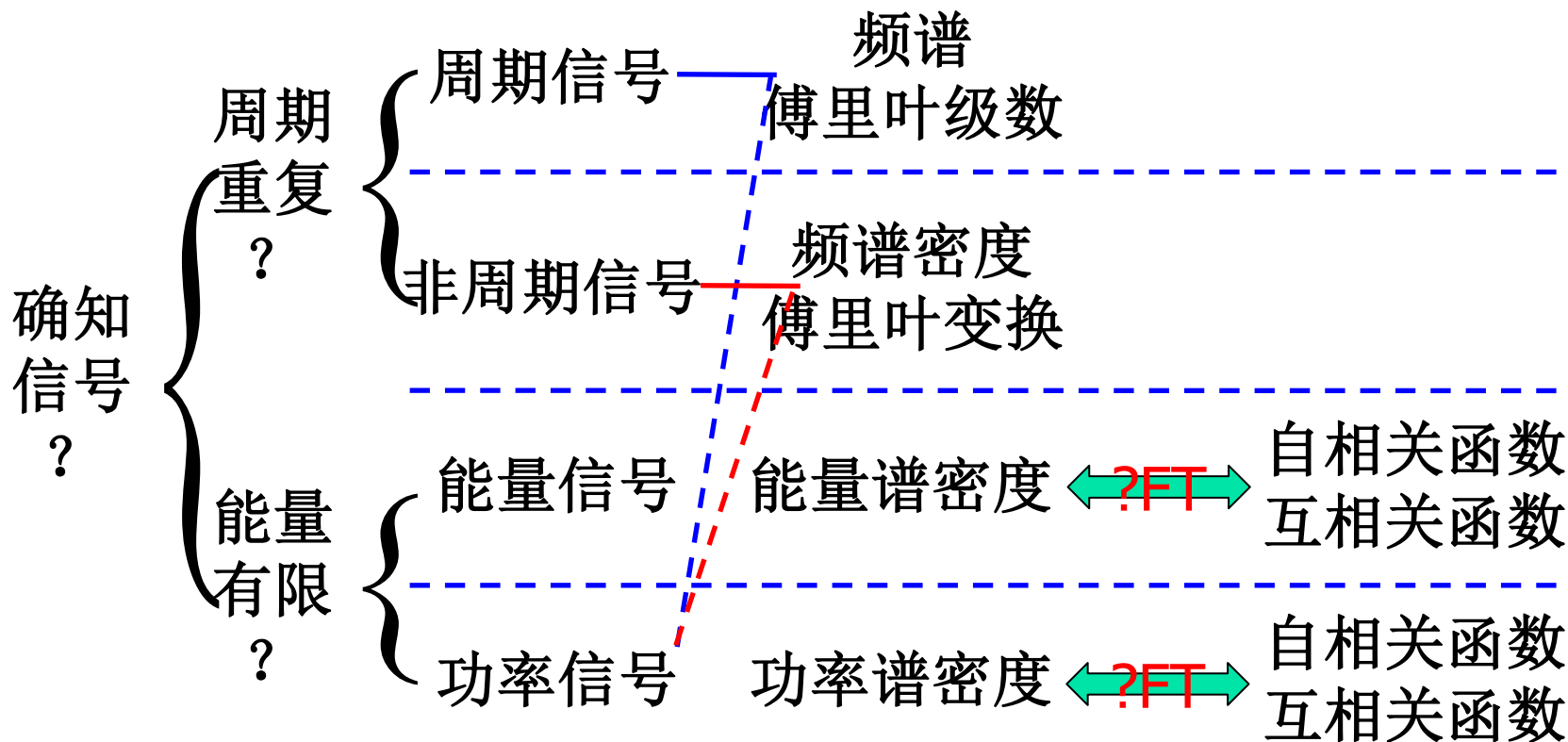
# 本章主要内容

## 第2章 确知信号



频域特性

时域特性





## 2.1 确知信号de类型

### ■ 何谓确知信号？

—— 在定义域内的任意时刻都有确定的函数值。否则，为随机信号或不确知信号。

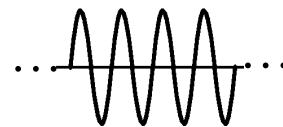
### ■ 确知信号分类

—— 根据信号的不同特征，可将信号进行不同的分类。

#### 1. 按照是否具有周期重复性区分

◆ **周期信号：**每隔一定的时间间隔按相同规律重复 且 无始无终。

$$s(t) = s(t + T_0), \quad -\infty < t < +\infty$$



满足上式的最小 $T_0$  ( $T_0 > 0$ ) 称为信号的基波周期。

◆ **非周期信号：**





## 2.1 确知信号de类型

### 2. 按照信号能量是否有限区分

能量 
$$E = \int_{-\infty}^{\infty} s^2(t) dt$$

功率 
$$P = \lim_{T \rightarrow \infty} \frac{1}{T} \int_{-T/2}^{T/2} s^2(t) dt$$

- ◆ **能量信号**: 若  $0 < E < \infty$  和  $P \rightarrow 0$  , 则称 **s(t)** 为**能量(有限)信号**。

例如, 单个矩形脉冲。

- ◆ **功率信号**: 若  $0 < P < \infty$  和  $E \rightarrow \infty$  , 则称 **s(t)** 为**功率(有限)信号**。

例如: 直流信号、周期信号和随机信号。

?

一个信号是否: 要么是能量信号, 要么是功率信号?

否

$e^t$  都不是



## 2.2 确知信号de频域特性

- 信号最重要、最本质的性质之一
- 反映信号各频率分量的分布情况
- 涉及占用的频带宽度、滤波性能等



## 2.2.1 周期功率信号的频谱

### ■ 周期性功率信号的频谱

对于周期 ( $T_0$ ) 功率信号  $s(t)$ , 可展成**指数型**傅里叶级数:

$$s(t) = \sum_{n=-\infty}^{\infty} C_n e^{j2\pi nt/T_0}$$

其中, 傅里叶级数的系数:

$$C_n = C(nf_0) = \frac{1}{T_0} \int_{-T_0/2}^{T_0/2} s(t) e^{-j2\pi nf_0 t} dt$$

称为信号的**频谱**。∵ 它反映了信号中各次谐波的幅度值和相位值。

$$C_n = |C_n| e^{j\theta_n}$$

$|C_n|$  ---  
 $\theta_n$  ---

随频率 ( $nf_0$ ) 变化的特性称为信号的

**幅度谱**  
**相位谱**



## 2.2.1 周期功率信号的频谱

$$C_n = C(nf_0) = \frac{1}{T_0} \int_{-T_0/2}^{T_0/2} s(t) e^{-j2\pi n f_0 t} dt$$

式中,  $f_0 = 1/T_0$  称为信号的基频;

$nf_0$  ( $n=0, \pm 1, \pm 2, \pm 3, \dots$ ) 称为信号的 $n$ 次谐波频率。

当  $n=0$  时, 有

$$C_0 = \frac{1}{T_0} \int_{-T_0/2}^{T_0/2} s(t) dt$$

它表示信号的时间平均值, 即直流分量。



## 2.2.1 周期功率信号的频谱

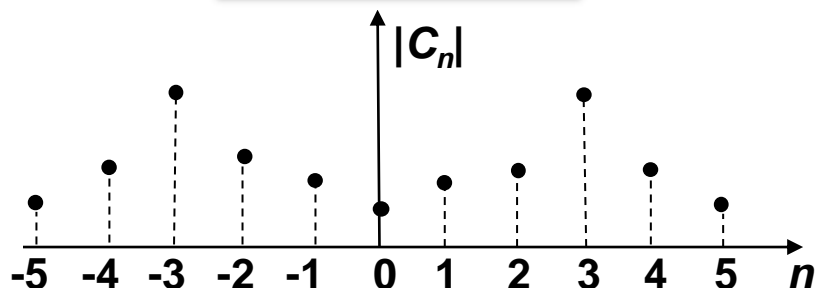
### 周期功率信号频谱的性质

◆ 对于物理可实现的实信号，有

$$C_{-n} = \frac{1}{T_0} \int_{-T_0/2}^{T_0/2} s(t) e^{+j2\pi n f_0 t} dt = \left[ \frac{1}{T_0} \int_{-T_0/2}^{T_0/2} s(t) e^{-j2\pi n f_0 t} dt \right]^* = C_n^*$$

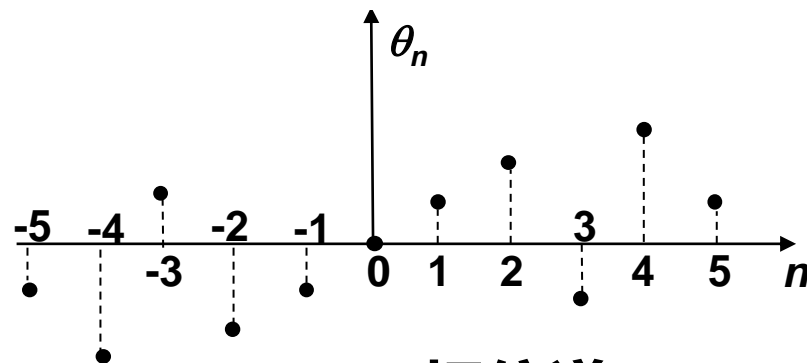
含义：正频率部分和负频率部分间存在复数共轭关系，即：

$C_n$ 的模偶对称



(a) 振幅谱

$C_n$ 的相位奇对称



(b) 相位谱





## 2.2.1 周期功率信号的频谱

将式:

$$C_{-n} = \frac{1}{T_0} \int_{-T_0/2}^{T_0/2} s(t) e^{+j2\pi n f_0 t} dt = \left[ \frac{1}{T_0} \int_{-T_0/2}^{T_0/2} s(t) e^{-j2\pi n f_0 t} dt \right]^* = C_n^*$$

代入式:

$$s(t) = \sum_{n=-\infty}^{\infty} C_n e^{j2\pi n t / T_0}$$

可得 $s(t)$ 的**三角形式**的傅里叶级数:

$$\begin{aligned} s(t) &= C_0 + \sum_{n=1}^{\infty} \left[ a_n \cos(2\pi n t / T_0) + b_n \sin(2\pi n t / T_0) \right] \\ &= C_0 + \sum_{n=1}^{\infty} \left[ \sqrt{a_n^2 + b_n^2} \cos(2\pi n t / T_0 + \theta) \right] \end{aligned}$$

式中

$$\theta = \tan^{-1}(b_n / a_n) \quad |C_n| = \frac{1}{2} \sqrt{a_n^2 + b_n^2}$$



## 2.2.1 周期功率信号的频谱

$$s(t) = C_0 + \sum_{n=1}^{\infty} \left[ \sqrt{a_n^2 + b_n^2} \cos(2\pi n t / T_0 + \theta) \right]$$

上式表明：

- ① 实周期信号可分解为直流分量 $C_0$ 、基波( $n = 1$ 时)和各次谐波( $n = 1, 2, 3, \dots$ )分量的线性叠加;
  - ② 实信号 $s(t)$ 的各次谐波的振幅等于  $\sqrt{a_n^2 + b_n^2}$
  - ③ 实信号 $s(t)$ 的各次谐波的相位等于  $\theta = \tan^{-1}(b_n / a_n)$
- } 称为**单边谱**
- ④ 频谱函数 $C_n$ 又称为双边谱,  $|C_n|$ 的值是单边谱的振幅之半。
- ◆ 若 $s(t)$ 是实偶信号, 则  $C_n$ 为实函数。
  - ◆ 若 $s(t)$ 不是偶信号, 则  $C_n$ 为复函数。



## 2.2.1 周期功率信号的频谱

例

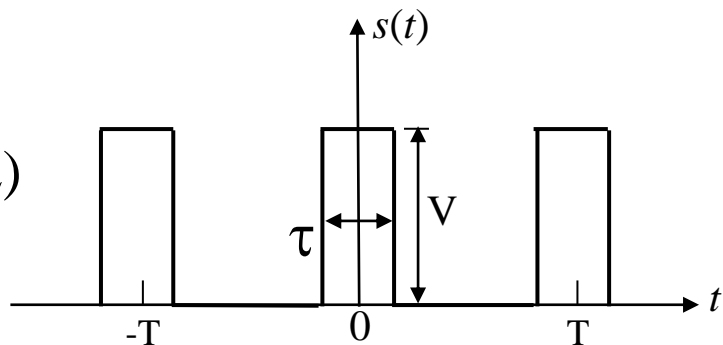
【2-1】试求下图所示周期性方波的频谱。

解

该周期性方波的周期 $T$ ，脉宽 $\tau$ ，脉幅 $V$ 。可表示为：

$$s(t) = \begin{cases} V, & -\tau/2 \leq t \leq \tau/2 \\ 0, & \tau/2 < t < (T - \tau/2) \end{cases}$$

$$s(t) = s(t - T), \quad -\infty < t < \infty$$

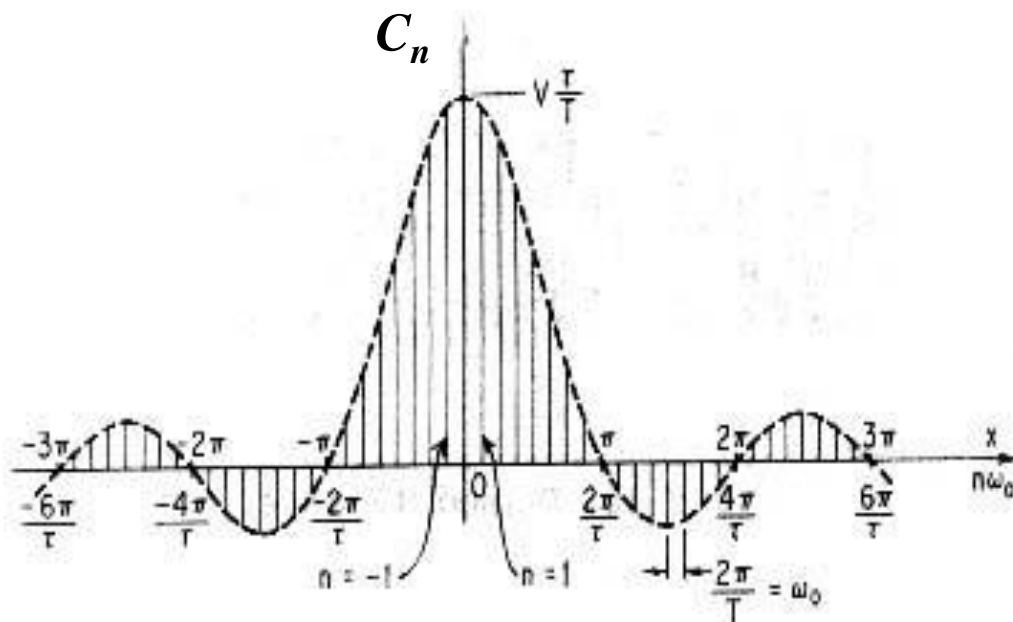


其频谱：

$$\begin{aligned} C_n &= \frac{1}{T} \int_{-\tau/2}^{\tau/2} V e^{-j2\pi n f_0 t} dt = \frac{1}{T} \left[ -\frac{V}{j2\pi n f_0} e^{-j2\pi n f_0 t} \right]_{-\tau/2}^{\tau/2} \\ &= \frac{V}{T} \frac{e^{j2\pi n f_0 \tau/2} - e^{-j2\pi n f_0 \tau/2}}{j2\pi n f_0} = \frac{V}{\pi n f_0 T} \sin \pi n f_0 \tau = \frac{V\tau}{T} \text{Sa} \left( \frac{n\pi\tau}{T} \right) \end{aligned}$$



## 2.2.1 周期功率信号的频谱



**可见：**因为 $s(t)$ 是**实偶**信号，所以  $C_n$ 为**实函数**。

$$s(t) = \sum_{n=-\infty}^{\infty} C_n e^{j2\pi n f_0 t} = \sum_{n=-\infty}^{\infty} \frac{V\tau}{T} \text{Sa}\left(\frac{n\pi\tau}{T}\right) e^{j2\pi n f_0 t}$$



## 2.2.1 周期功率信号的频谱

例

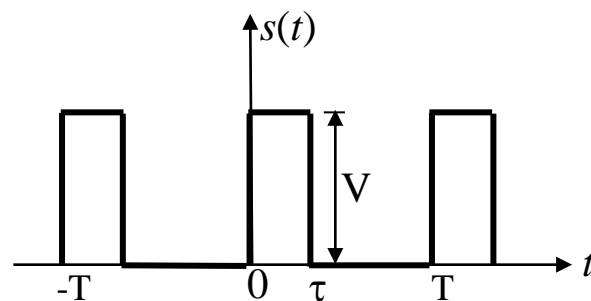
【2-2】试求下图所示周期性方波的频谱。

解

该信号可表示为：

$$s(t) = \begin{cases} V, & 0 \leq t \leq \tau \\ 0, & \tau < t < T \end{cases}$$

$$s(t) = s(t - T), \quad -\infty < t < \infty$$



其频谱：

$$\begin{aligned} C_n &= \frac{1}{T} \int_0^\tau V e^{-j2\pi n f_0 t} dt = \frac{1}{T} \left[ -\frac{V}{j2\pi n f_0} e^{-j2\pi n f_0 t} \right]_0^\tau \\ &= \frac{V}{T} \frac{1 - e^{-j2\pi n f_0 \tau}}{j2\pi n f_0} = \frac{V}{j2\pi n} \left( 1 - e^{-j2\pi n \tau / T} \right) \end{aligned}$$

**可见：**此信号不是偶函数，所以其频谱 $C_n$ 是复函数。



## 2.2.2 能量信号的频谱密度

### ■ 频谱密度的定义：

—— 能量信号 $s(t)$  的傅里叶变换：
$$S(f) = \int_{-\infty}^{\infty} s(t)e^{-j2\pi ft} dt$$

$S(f)$ 的逆傅里叶变换为原信号：
$$s(t) = \int_{-\infty}^{\infty} S(f)e^{j2\pi ft} df$$

### ■ $S(f)$ 和 $C_n$ 的主要区别：

◆  $S(f)$ 是连续谱， $C_n$ 是离散谱；

◆  $S(f)$ 的单位是V/Hz，而 $C_n$ 的单位是V。

### ■ 实能量信号频谱密度和实功率信号频谱的共同特性：

—— 负频谱和正频谱的模偶对称，相位奇对称，即复数共轭。因为：

$$\int_{-\infty}^{\infty} s(t)e^{-j2\pi ft} dt = \left[ \int_{-\infty}^{\infty} s(t)e^{+j2\pi ft} dt \right]^*, \quad S(f) = [S(-f)]^*$$



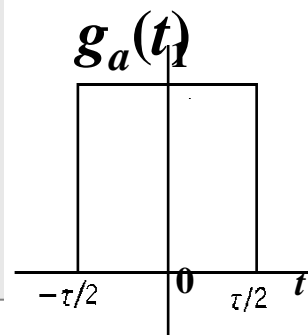
## 2.2.2 能量信号的频谱密度

例

【2-3】试求单位门函数:

$$g_a(t) = \begin{cases} 1 & |t| \leq \tau/2 \\ 0 & |t| > \tau/2 \end{cases}$$

的频谱密度。

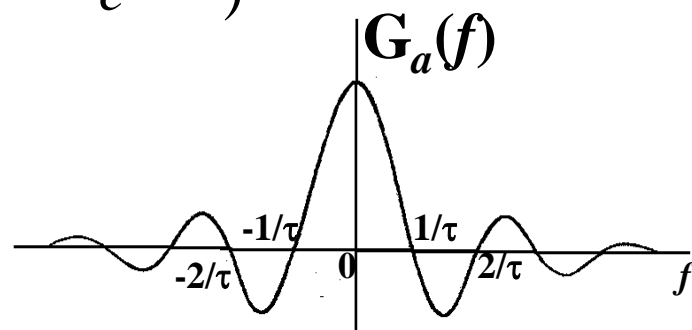


解

其傅里叶变换为

$$G_a(f) = \int_{-\tau/2}^{\tau/2} e^{-j2\pi ft} dt = \frac{1}{j2\pi f} (e^{j\pi f\tau} - e^{-j\pi f\tau})$$

$$= \tau \frac{\sin(\pi f\tau)}{\pi f\tau} = \tau \text{Sa}(\pi f\tau)$$



**评注:** 矩形脉冲的带宽等于其脉冲持续时间的倒数, 即  $(1/\tau)$  Hz。



## 2.2.2 能量信号的频谱密度

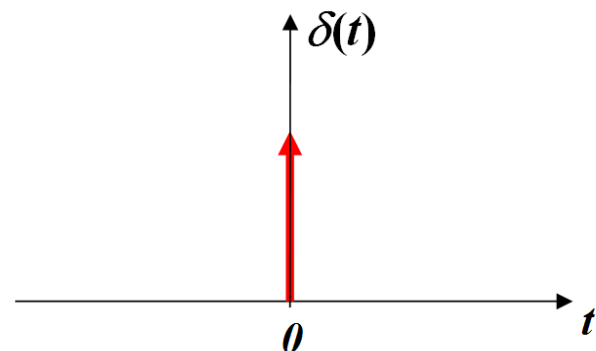
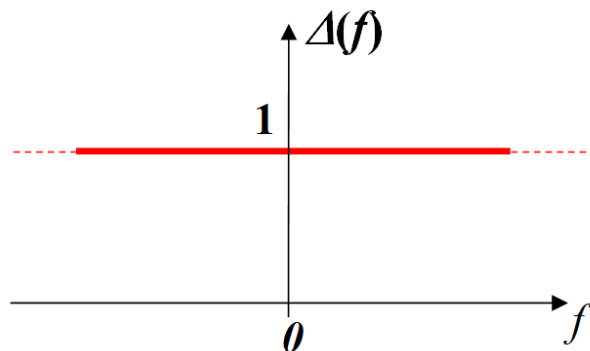
例

【2-4】试求单位冲激函数 ( $\delta$ 函数) 的频谱密度。

解

$\delta$ 函数的定义:  $\int_{-\infty}^{\infty} \delta(t) dt = 1$  且  $\delta(t) = 0, t \neq 0$

$\delta$ 函数的频谱密度:  $\Delta(f) = \int_{-\infty}^{\infty} \delta(t) e^{-j2\pi ft} dt = 1 \cdot \int_{-\infty}^{\infty} \delta(t) dt = 1$



$\delta$ 函数的物理意义:

一个高度为无穷大、宽度为无穷小、面积为1的脉冲。





## 2.2.2 能量信号的频谱密度

### $\delta$ 函数的性质①

——  $\delta$ 函数可用抽样函数的极限表示。

$$\delta(t) = \lim_{k \rightarrow \infty} \frac{k}{\pi} \text{Sa}(kt)$$

### $\delta$ 函数的性质②

$$f(t_0) = \int_{-\infty}^{\infty} f(t) \delta(t - t_0) dt$$

### $\delta$ 函数的性质③

——  $\delta$ 函数也可以看作是单位阶跃函数的导数。

$$u(t) = \begin{cases} 0, & \text{当 } t < 0, \\ 1, & \text{当 } t \geq 0 \end{cases}$$

$$u'(t) = \delta(t)$$



## 2.2.2 能量信号的频谱密度

例

【2-5】试求无限长余弦波的频谱密度。

解 设余弦波的表示式为  $s(t) = \cos 2\pi f_0 t$ , 则其频谱密度  $S(f)$  为

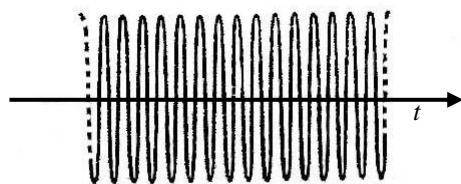
$$S(f) = \lim_{\tau \rightarrow \infty} \int_{-\tau/2}^{\tau/2} \cos 2\pi f_0 t e^{-j2\pi f t} dt = \lim_{\tau \rightarrow \infty} \frac{\tau}{2} \left\{ \frac{\sin[\pi(f - f_0)\tau]}{\pi(f - f_0)\tau} + \frac{\sin[\pi(f + f_0)\tau]}{\pi(f + f_0)\tau} \right\}$$
$$= \lim_{\tau \rightarrow \infty} \frac{\tau}{2} \{Sa[\pi\tau(f - f_0)] + Sa[\pi\tau(f + f_0)]\}$$

利用

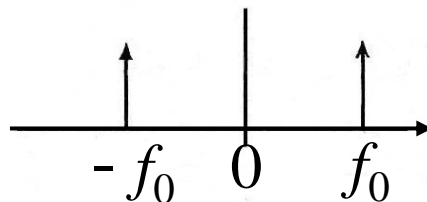
$$\delta(t) = \lim_{k \rightarrow \infty} \frac{k}{\pi} Sa(kt)$$

则有

$$S(f) = \frac{1}{2} [\delta(f - f_0) + \delta(f + f_0)]$$



(a) 余弦波形



(b) 频谱密度

可见：利用冲激函数，可以把频谱密度的概念推广到功率信号上。



## 2.2.3 能量信号的能量谱密度

——用来描述信号的能量在频域上的分布情况。

- **定义：** 设能量信号 $s(t)$ 的傅里叶变换（即频谱密度）为 $S(f)$ ，  
则其**能量谱密度** $G(f)$ 为：

$$G(f) = |S(f)|^2$$

- **能量——Parseval定理**

$$E = \int_{-\infty}^{\infty} s^2(t) dt = \int_{-\infty}^{\infty} |S(f)|^2 df = \int_{-\infty}^{\infty} G(f) df = 2 \int_0^{\infty} G(f) df$$



能量守恒



对于实函数  
 $|S(f)|$ 是偶函数



## 2.2.3 能量信号的能量谱密度

例

【2-6】试求例【2-3】中矩形脉冲的能量谱密度。

解

在例【2-3】中，已经求出其频谱密度：

$$S(f) = G_a(f) = \tau Sa(\pi f \tau)$$

故其能量谱密度为：

$$G(f) = |S(f)|^2 = |\tau Sa(\pi f \tau)|^2 = \tau^2 |Sa(\pi f \tau)|^2$$



## 2.2.4 功率信号的功率谱密度

——用来描述信号的功率在频域上的分布情况。

■ **定义：** 信号 $s(t)$ 的功率谱密度  $P(f)$  定义为：

$$P(f) = \lim_{T \rightarrow \infty} \frac{1}{T} |S_T(f)|^2$$

式中， $S_T(f)$  为截断信号  $s_T(t)$  的傅里叶变换。

■ **功率——Parseval定理**

$$P = \lim_{T \rightarrow \infty} \frac{1}{T} \int_{-T/2}^{T/2} s^2(t) dt = \int_{-\infty}^{\infty} P(f) df$$

■ **周期信号的Parseval定理**

$$P = \frac{1}{T_0} \int_{-T_0/2}^{T_0/2} s^2(t) dt = \sum_{n=-\infty}^{\infty} |C_n|^2$$



## 2.2.4 功率信号的功率谱密度

$$P = \frac{1}{T_0} \int_{-T_0/2}^{T_0/2} s^2(t) dt = \sum_{n=-\infty}^{\infty} |C_n|^2$$

式中  $|C_n|^2$  为第  $n$  次谐波的功率。

### ■ 周期信号的功率谱密度

$$P(f) = \sum_{n=-\infty}^{\infty} |C_n|^2 \delta(f - nf_0)$$



## 2.2.4 功率信号的功率谱密度

例

【2-7】试求例【2-1】中周期性信号的功率谱密度。

解

在例【2-1】中，已经求出该信号的频谱：

$$C_n = \frac{V\tau}{T} \text{Sa}\left(\frac{n\pi\tau}{T}\right)$$

由式

$$P(f) = \sum_{n=-\infty}^{\infty} |C_n|^2 \delta(f - nf_0)$$

可得该信号的功率谱密度：

$$P(f) = \sum_{n=-\infty}^{\infty} \left(\frac{V\tau}{T}\right)^2 \text{Sa}^2(\pi f \tau) \delta(f - nf_0)$$



## 2.3 确知信号de时域特性

### 2.3.1 能量信号的自相关函数

■ 定义：

$$R(\tau) = \int_{-\infty}^{\infty} s(t)s(t+\tau)dt \quad -\infty < \tau < \infty$$

■ 性质：

- ◆ 自相关函数  $R(\tau)$  和时间  $t$  无关，只和时间差  $\tau$  有关；
- ◆ 当  $\tau = 0$  时， $R(0)$  等于信号的能量：

$$R(0) = \int_{-\infty}^{\infty} s^2(t)dt = E$$

- ◆  $R(\tau)$  是  $\tau$  的偶函数：  $R(\tau) = R(-\tau)$

- ◆ 自相关函数  $R(\tau)$  和其能量谱密度  $|S(f)|^2$  是一对傅里叶变换：

$$|S(f)|^2 = \int_{-\infty}^{\infty} R(\tau)e^{-j2\pi f\tau}d\tau \quad R(\tau) = \int_{-\infty}^{\infty} |S(f)|^2 e^{j2\pi f\tau}df$$





## 2.3.2 功率信号的自相关函数

■ 定义:

$$R(\tau) = \lim_{T \rightarrow \infty} \frac{1}{T} \int_{-T/2}^{T/2} s(t)s(t+\tau)dt \quad -\infty < \tau < \infty$$

对于周期功率信号  $R(\tau) = \frac{1}{T_0} \int_{-T_0/2}^{T_0/2} s(t)s(t+\tau)dt \quad -\infty < \tau < \infty$

■ 性质:

◆ 当  $\tau = 0$  时,  $R(0)$  等于信号的平均功率:

$$R(0) = \lim_{T \rightarrow \infty} \frac{1}{T} \int_{-T/2}^{T/2} s^2(t)dt = P$$

◆  $R(\tau)$  也是  $\tau$  的偶函数;

◆  $R(\tau)$  和 功率谱密度  $P(f)$  是一对傅里叶变换:

$$R(\tau) = \int_{-\infty}^{\infty} P(f)e^{j2\pi f\tau} df \quad P(f) = \int_{-\infty}^{\infty} R(\tau)e^{-j2\pi f\tau} d\tau$$



## 2.3.2 功率信号的自相关函数

**例** 【2-8】 试求周期性余弦信号  $s(t) = A\cos(\omega_0 t + \theta)$  的自相关函数、功率谱密度和平均功率。

**解**

自相关函数：

$$\omega_0 = 2\pi f_0 = 2\pi / T_0$$

$$R(\tau) = \frac{1}{T_0} \int_{-T_0/2}^{T_0/2} s(t)s(t+\tau)dt = \frac{1}{T_0} \int_{-T_0/2}^{T_0/2} A^2 \cos(\omega_0 t + \theta) \cos[\omega_0(t+\tau) + \theta]dt$$

利用积化和差三角函数公式，上式变为：

$$R(\tau) = \frac{A^2}{2} \cos \omega_0 \tau \cdot \frac{1}{T_0} \int_{-T_0/2}^{T_0/2} dt + \frac{A^2}{2} \frac{1}{T_0} \int_{-T_0/2}^{T_0/2} \cos(2\omega_0 t + \omega_0 \tau + 2\theta)dt = \frac{A^2}{2} \cos \omega_0 \tau$$

对上式作傅里叶变换，则可得此余弦信号的功率谱密度：

$$P(\omega) = \frac{A^2}{2} \pi [\delta(\omega - \omega_0) + \delta(\omega + \omega_0)] \quad \xrightarrow{?} \quad P(f) = \frac{A^2}{4} [\delta(f - f_0) + \delta(f + f_0)]$$

信号的平均功率：

$$P = R(0) = \frac{A^2}{2}$$

$$\delta(\omega) = \delta(2\pi f) = \frac{1}{2\pi} \delta(f)$$



## 2.3.3 能量信号的互相关函数

■ 定义:

$$R_{12}(\tau) = \int_{-\infty}^{\infty} s_1(t)s_2(t+\tau)dt, \quad -\infty < \tau < \infty$$

■ 性质:

- ◆  $R_{12}(\tau)$  和时间  $t$  无关, 只和时间差  $\tau$  有关;
- ◆  $R_{12}(\tau)$  和两个信号相乘的前后次序有关:

$$R_{21}(\tau) = R_{12}(-\tau)$$

- ◆ 互相关函数  $R_{12}(\tau)$  和互能量谱密度  $S_{12}(f)$  是一对傅里叶变换:

$$R_{12}(\tau) = \int_{-\infty}^{\infty} S_{12}(f)e^{j2\pi f\tau}df \quad S_{12}(f) = \int_{-\infty}^{\infty} R_{12}(\tau)e^{-j2\pi f\tau}d\tau$$

互能量谱密度的定义:  $S_{12}(f) = S_1^*(f)S_2(f)$



## 2.3.4 功率信号的互相关函数

■ 定义：

$$R_{12}(\tau) = \lim_{T \rightarrow \infty} \frac{1}{T} \int_{-T/2}^{T/2} s_1(t) s_2(t + \tau) dt, \quad -\infty < \tau < \infty$$

■ 性质：

- ◆  $R_{12}(\tau)$  和时间  $t$  无关，只和时间差  $\tau$  有关；
- ◆  $R_{12}(\tau)$  和两个信号相乘的前后次序有关：  $R_{21}(\tau) = R_{12}(-\tau)$
- ◆ 若两个周期性功率信号的周期相同，则其互相关函数可以写为

：

$$R_{12}(\tau) = \frac{1}{T_0} \int_{-T_0/2}^{T_0/2} s_1(t) s_2(t + \tau) dt, \quad -\infty < \tau < \infty$$

- ◆  $R_{12}(\tau)$  和其互功率谱  $C_{12}$  之间也有傅里叶变换关系：

$$R_{12}(\tau) = \sum_{n=-\infty}^{\infty} [C_{12}] e^{j2\pi n f_0 \tau} \quad R_{12}(\tau) = \int_{-\infty}^{\infty} C_{12}(f) \delta(f - n f_0) e^{j2\pi n f_0 \tau} df$$

互功率谱定义：  $C_{12} = (C_n)_1^* (C_n)_2$